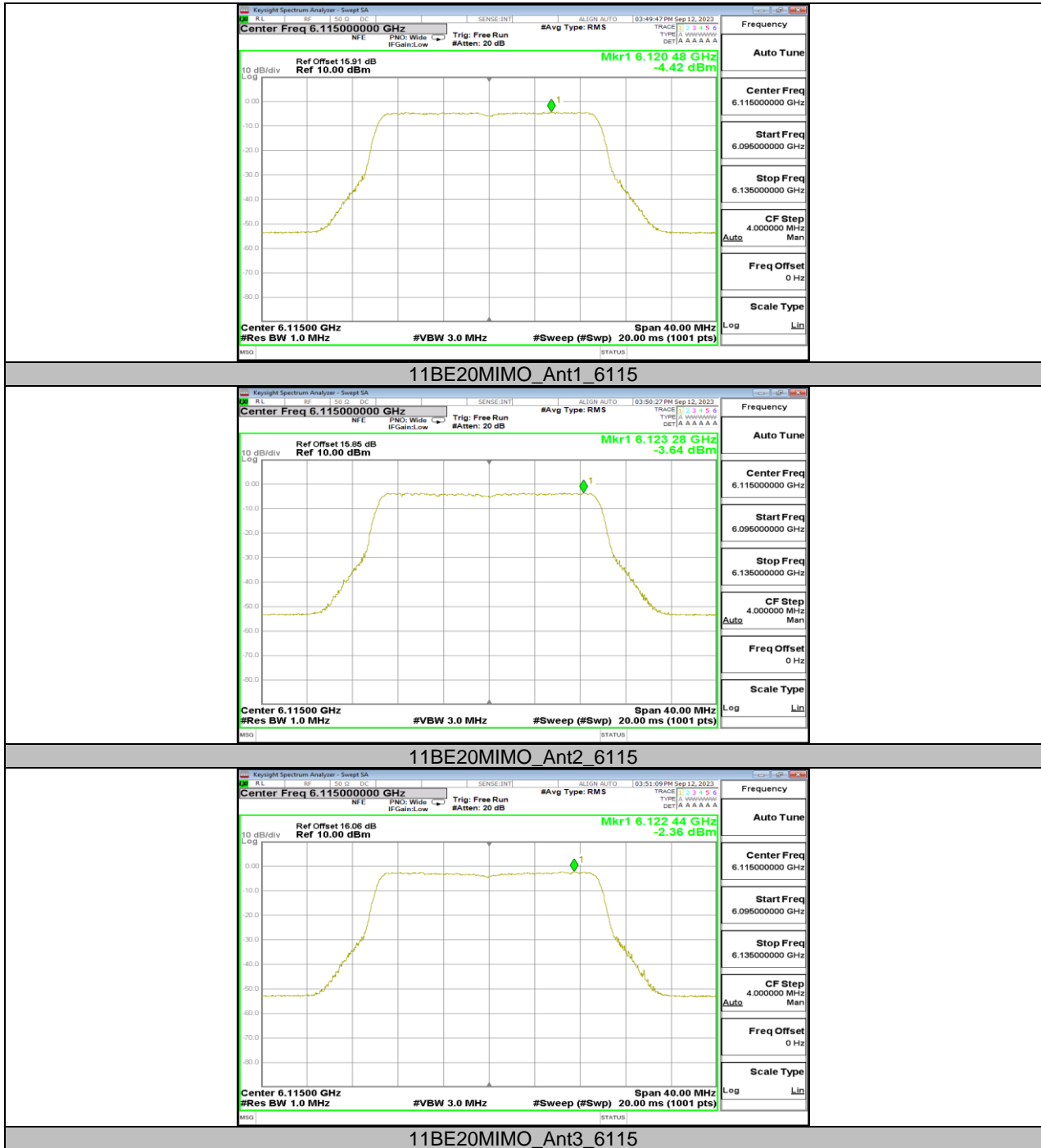
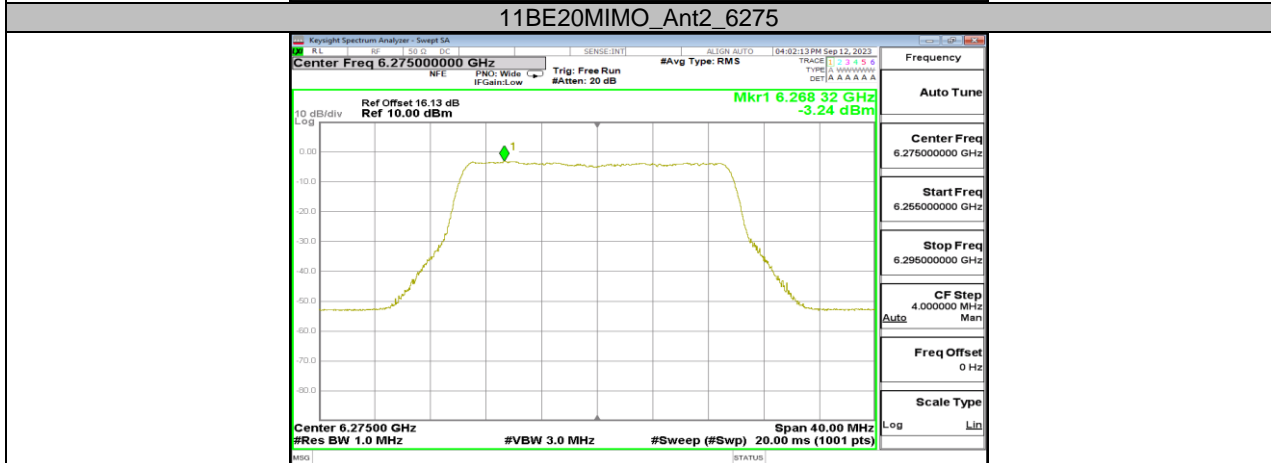
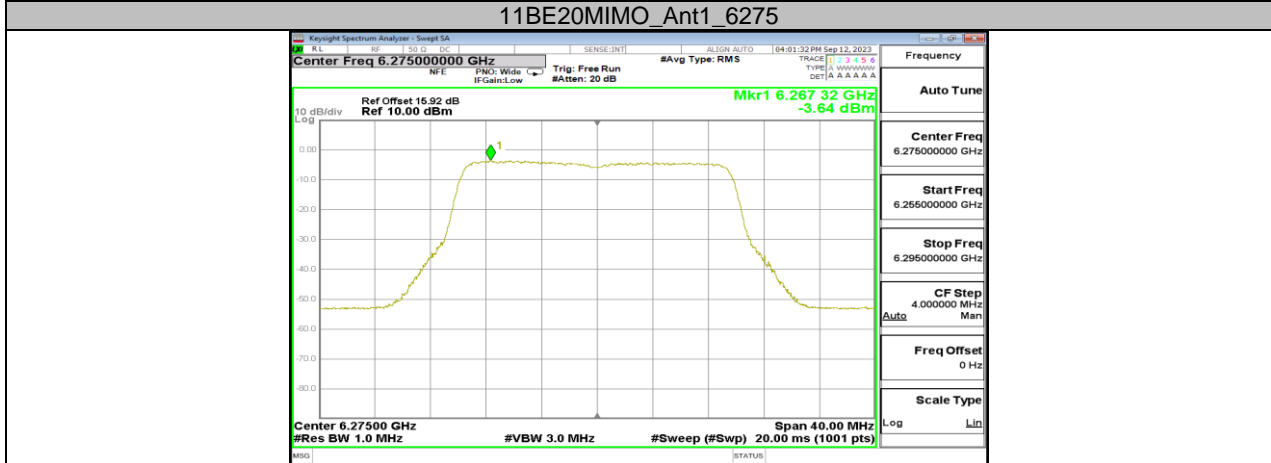
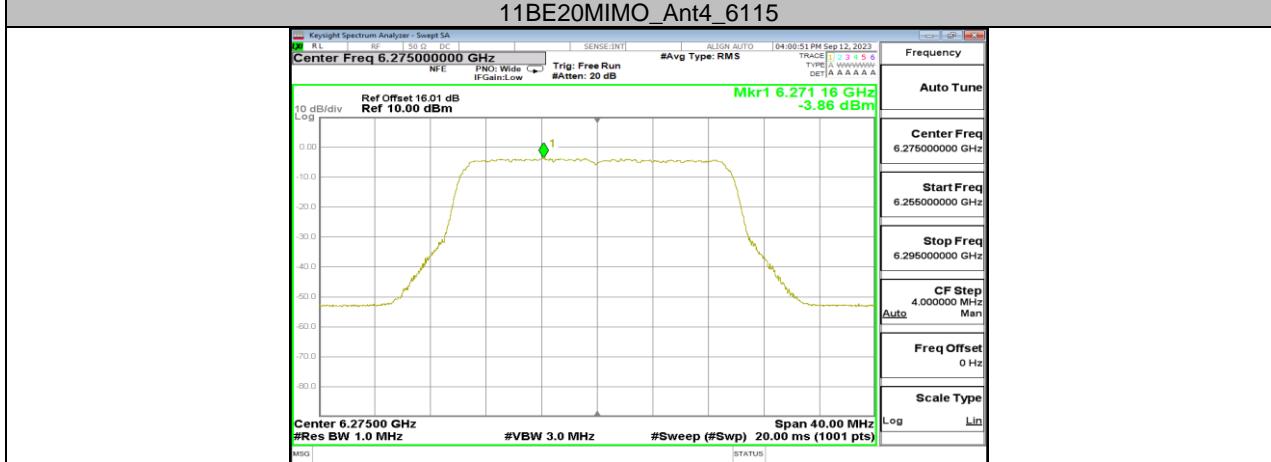
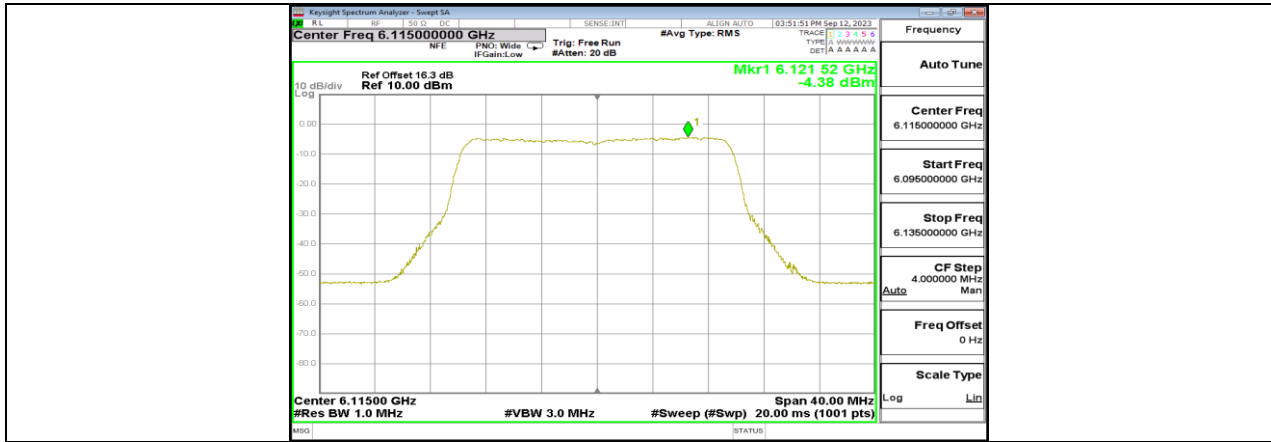
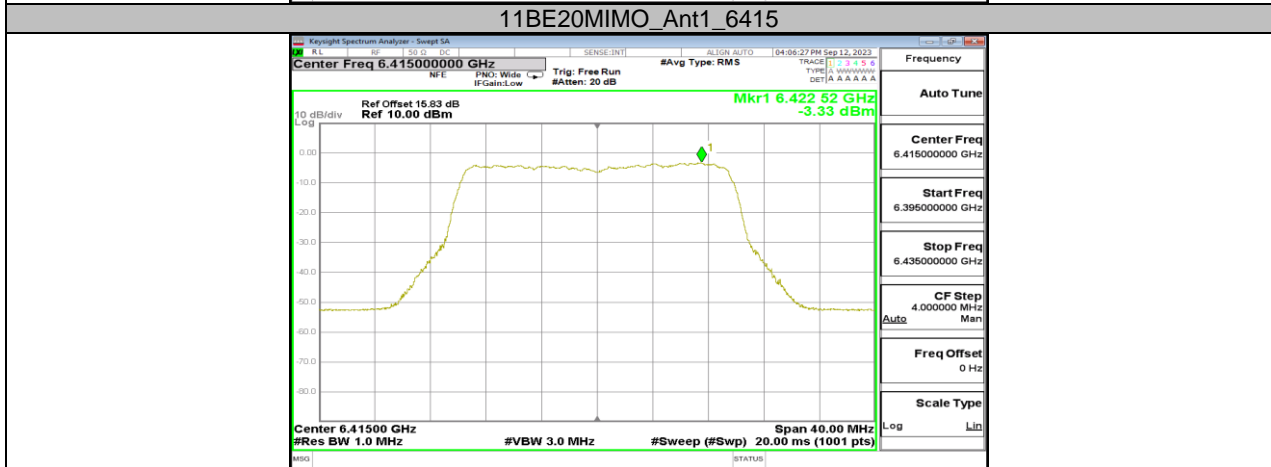
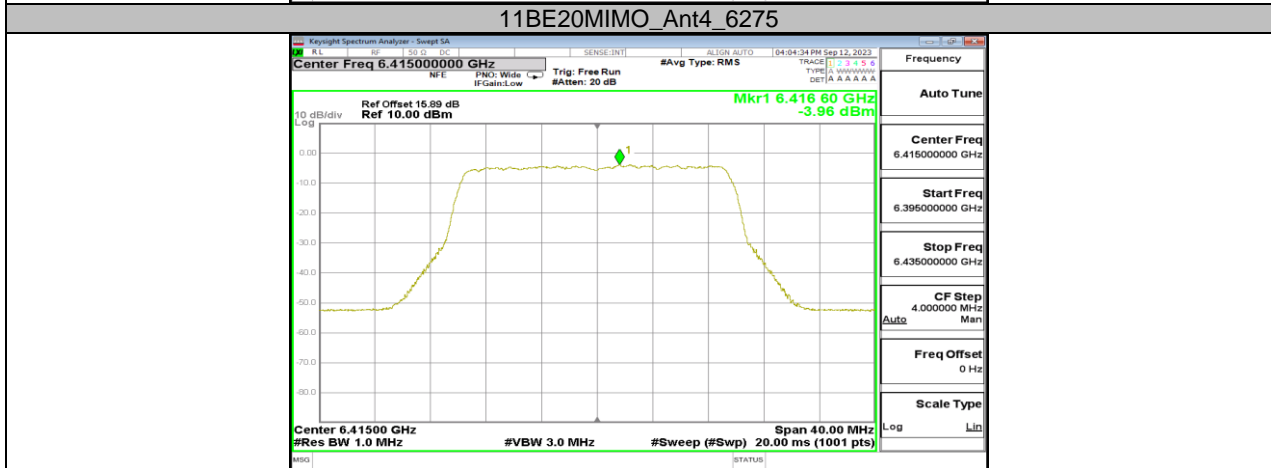
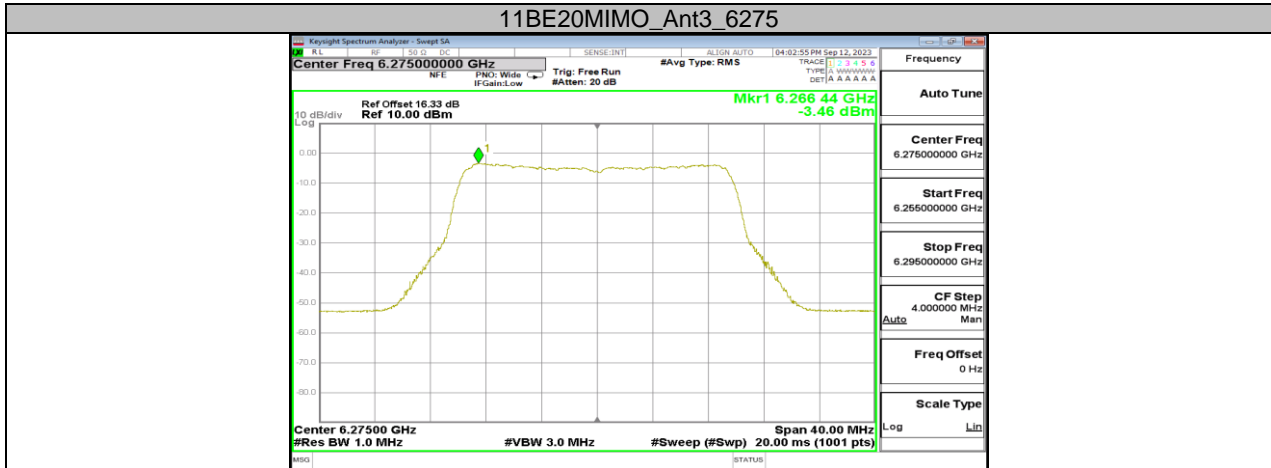


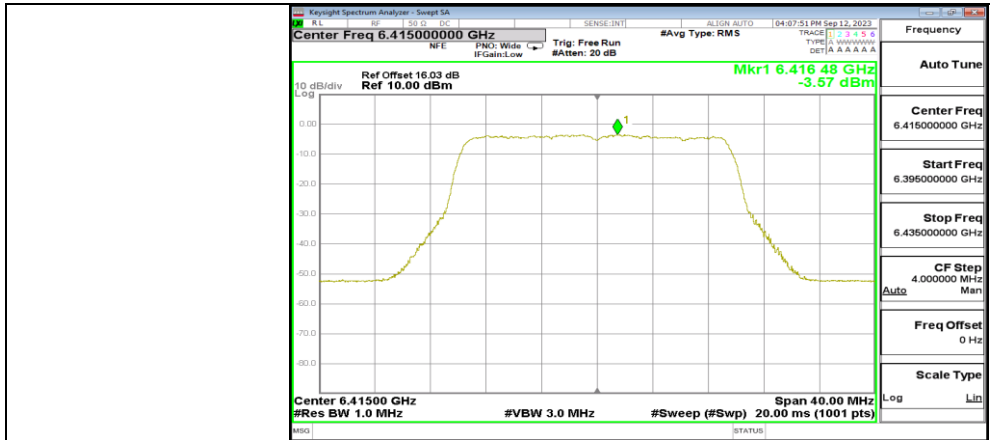
11.5.2. NSS=4 Test Graphs



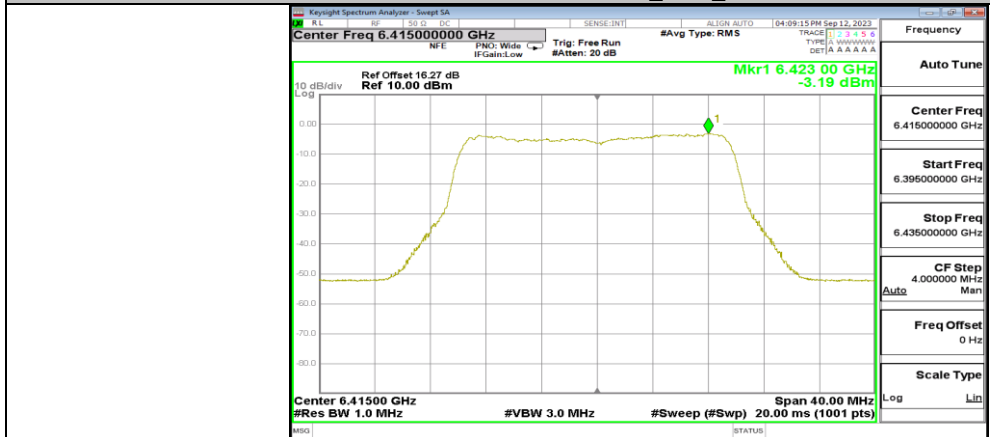




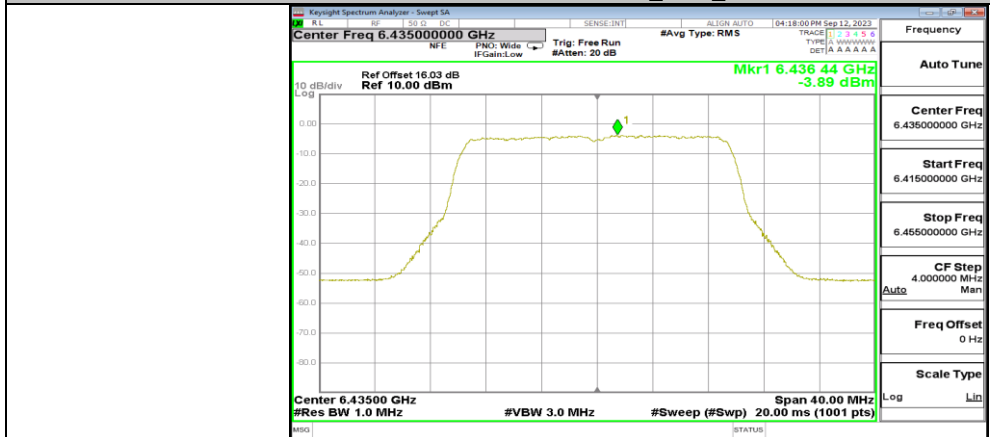
11BE20MIMO_Ant2_6415



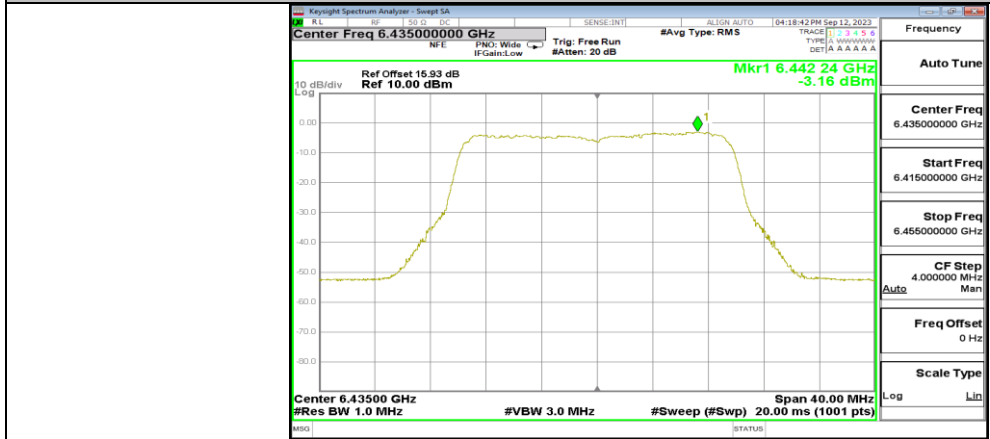
11BE20MIMO_Ant3_6415

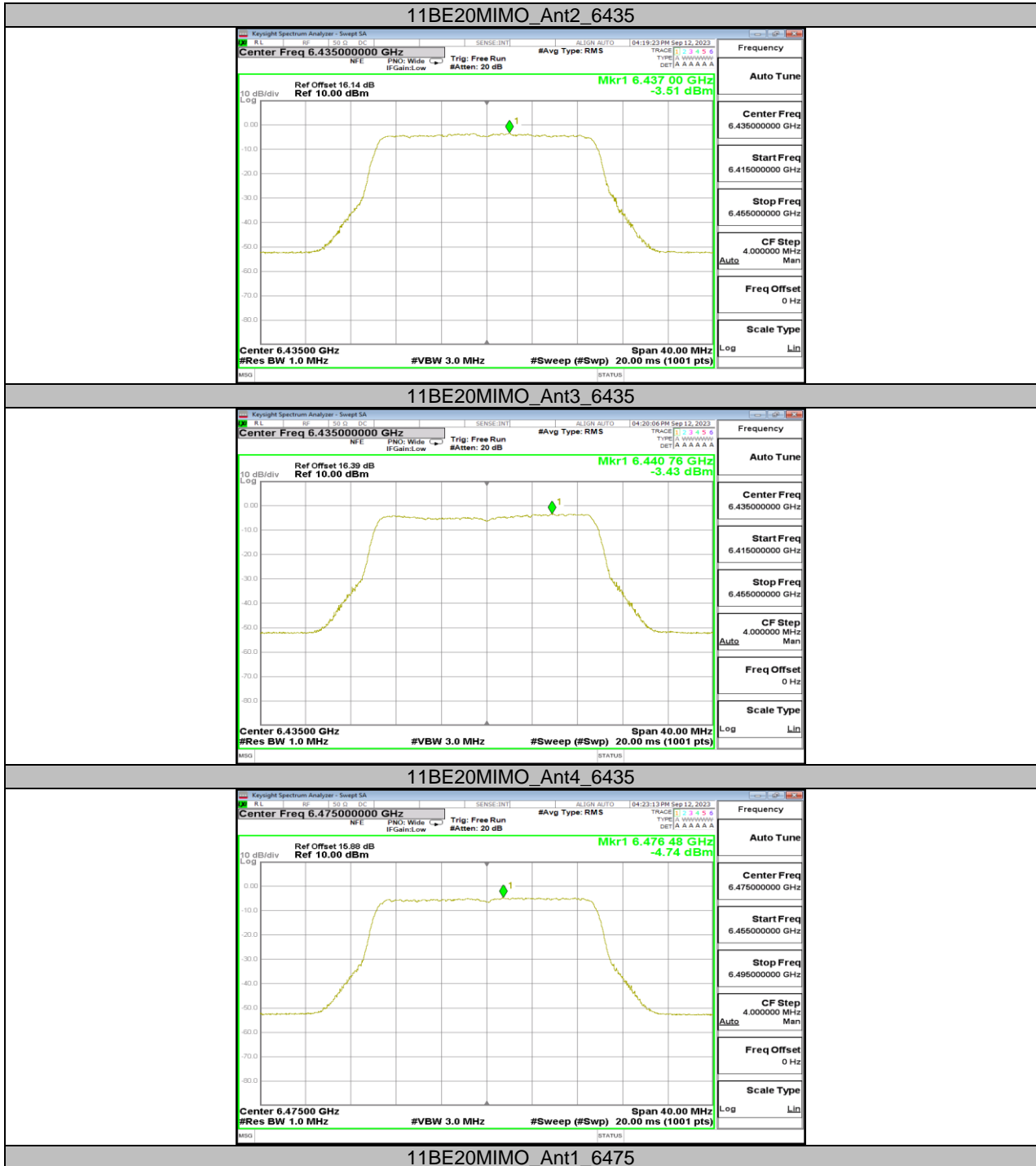


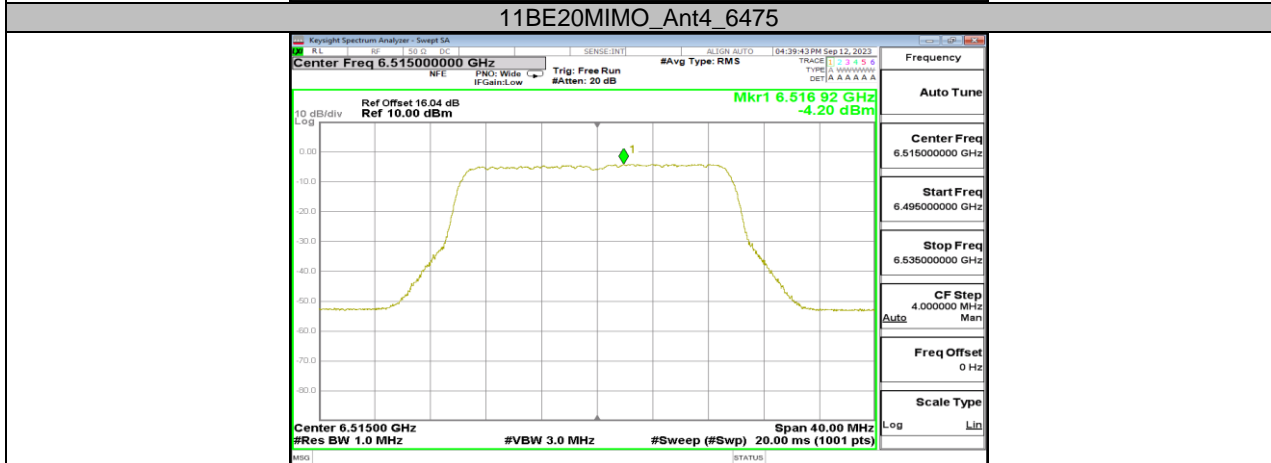
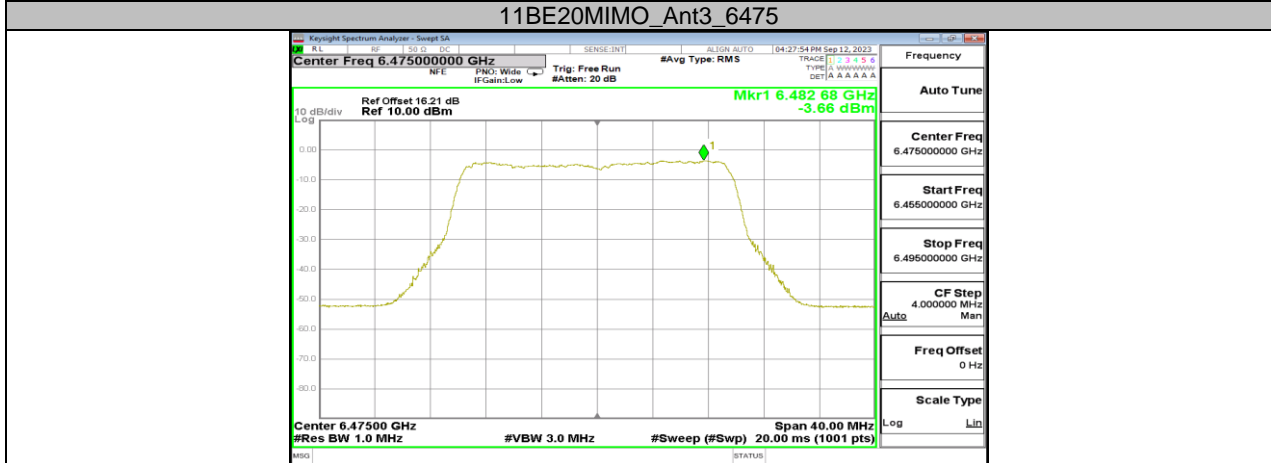
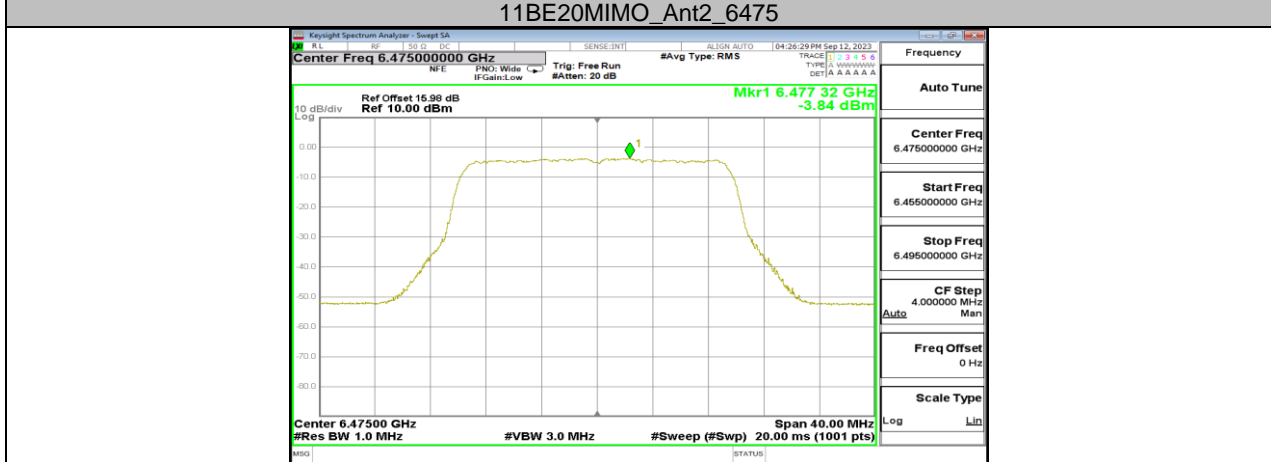
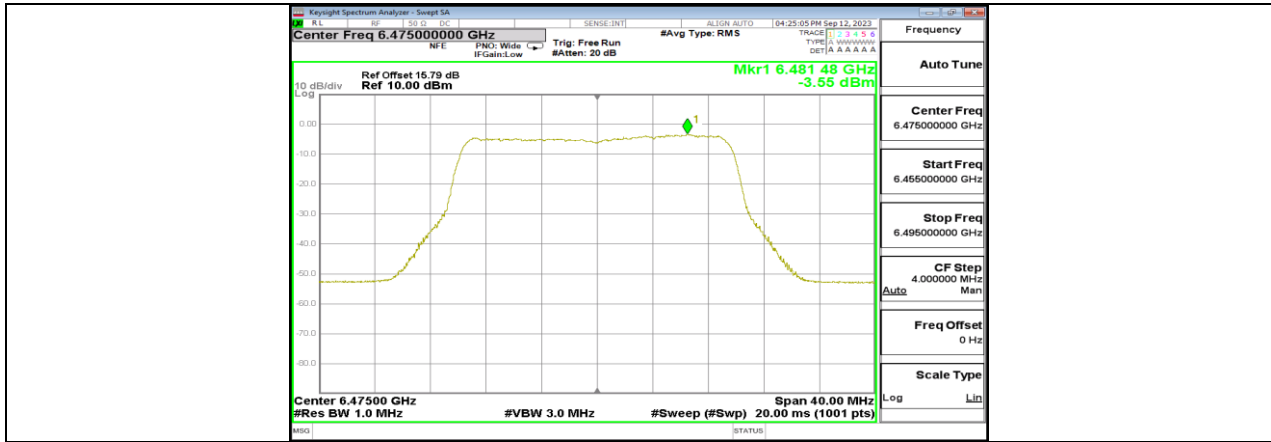
11BE20MIMO_Ant4_6415

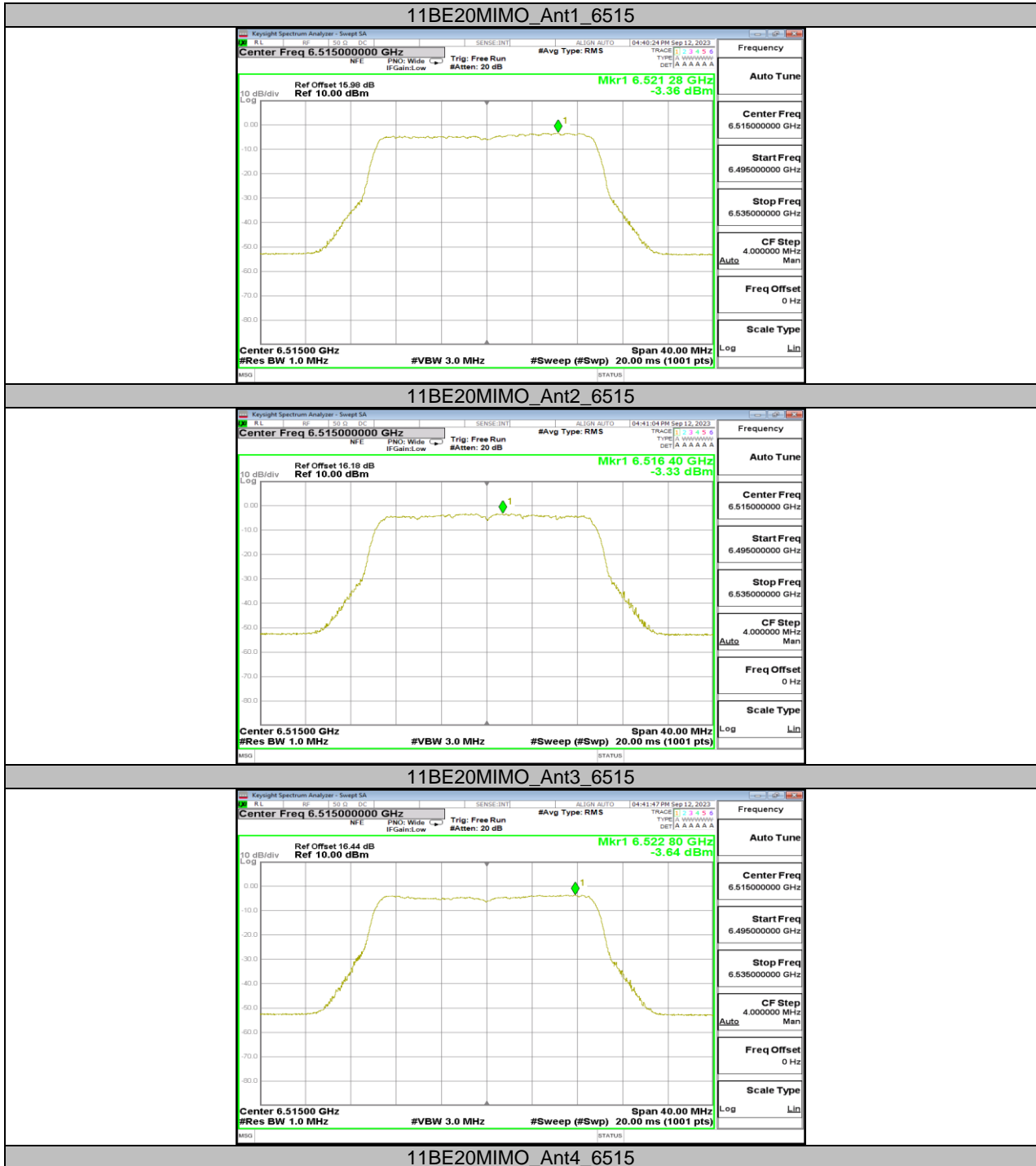


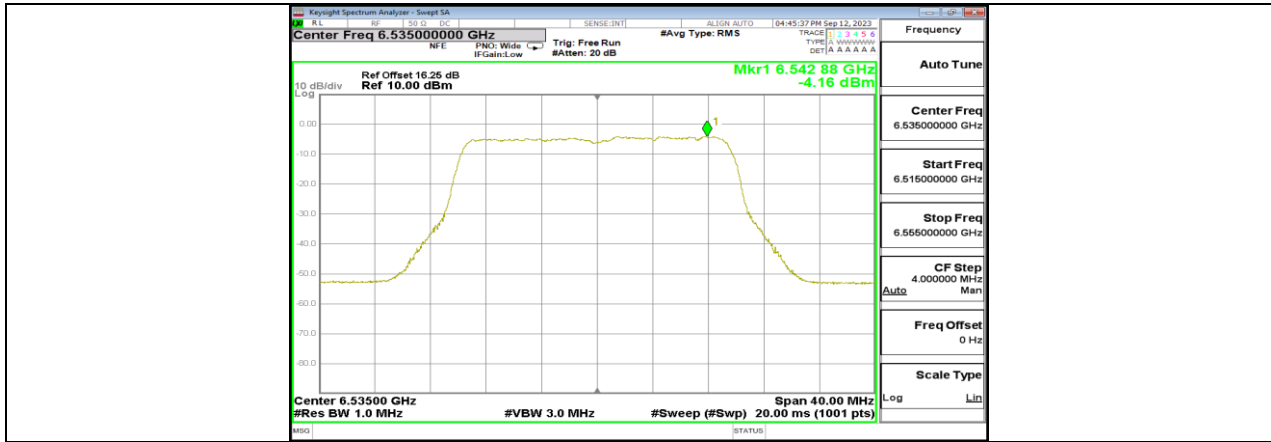
11BE20MIMO_Ant1_6435



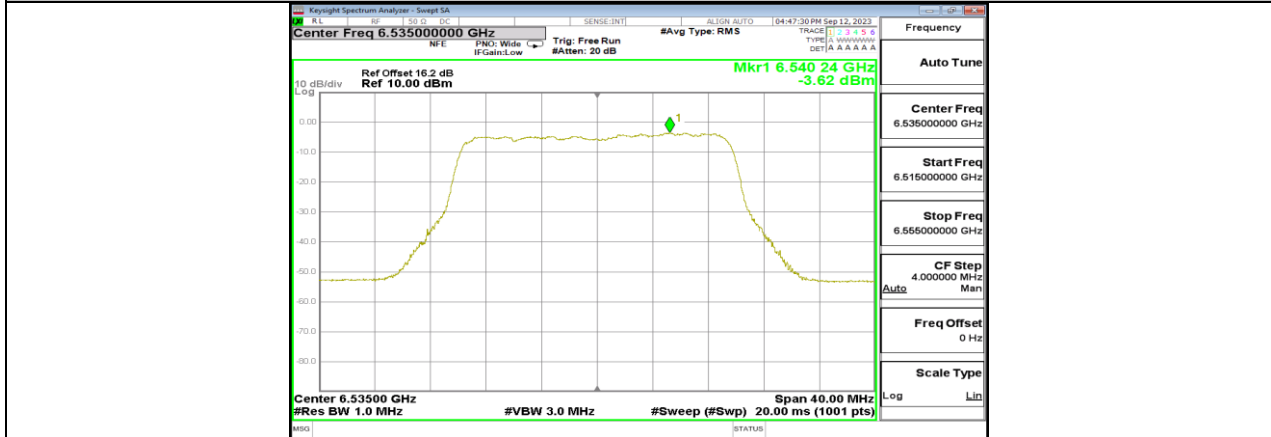




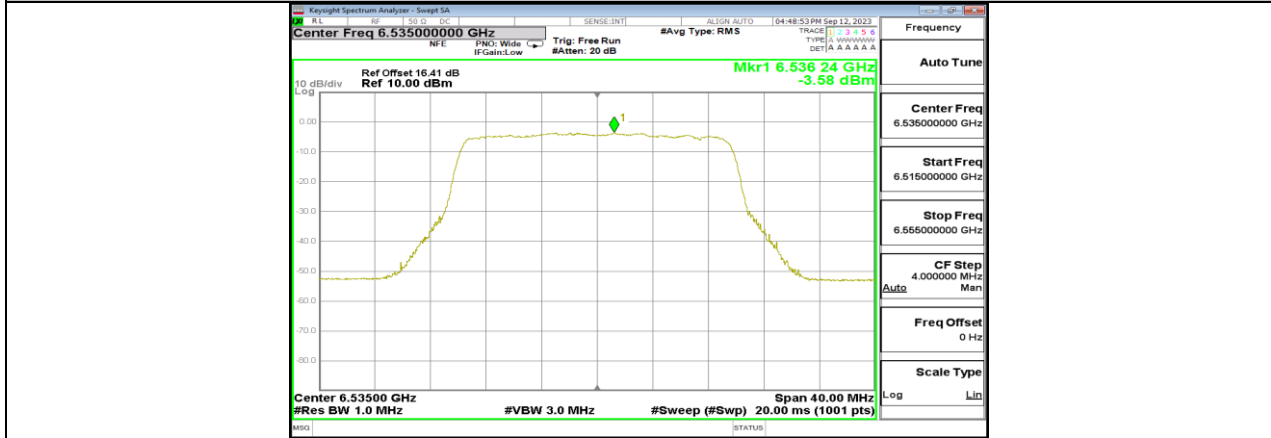




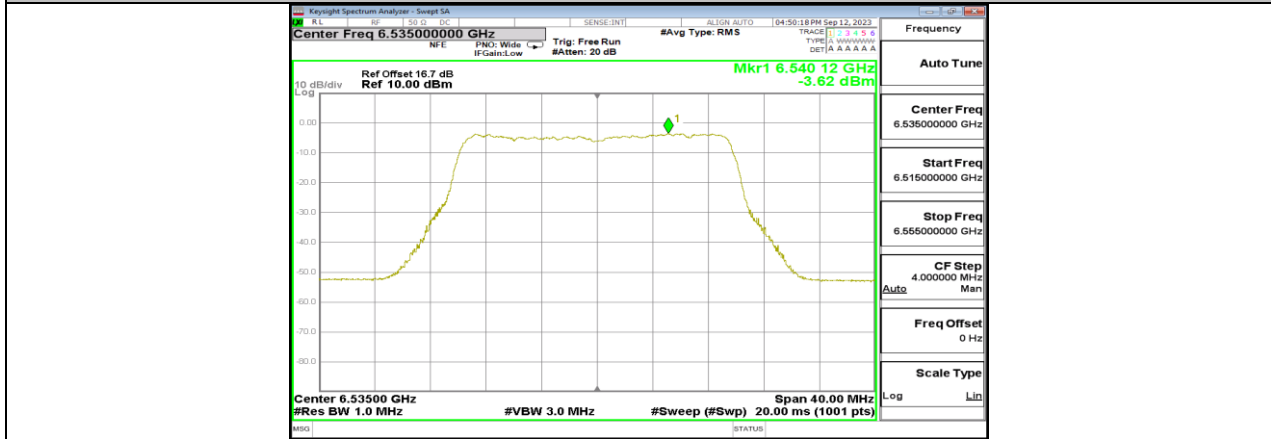
11BE20MIMO_Ant1_6535

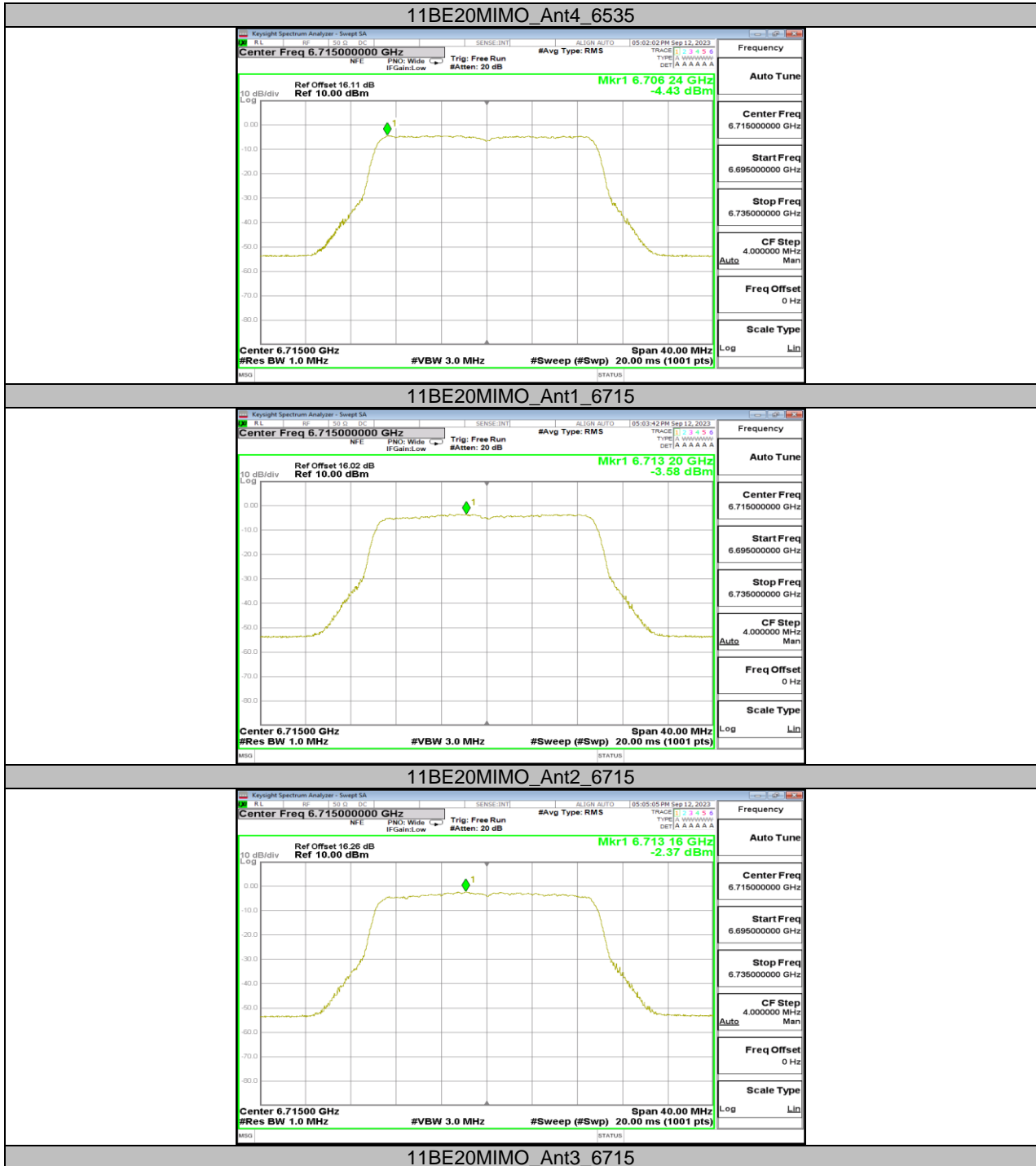


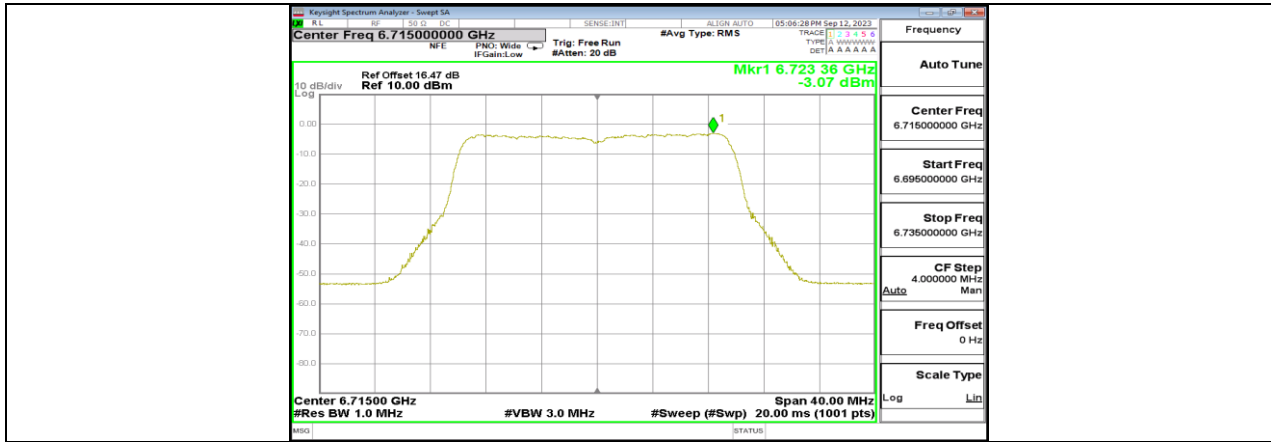
11BE20MIMO_Ant2_6535



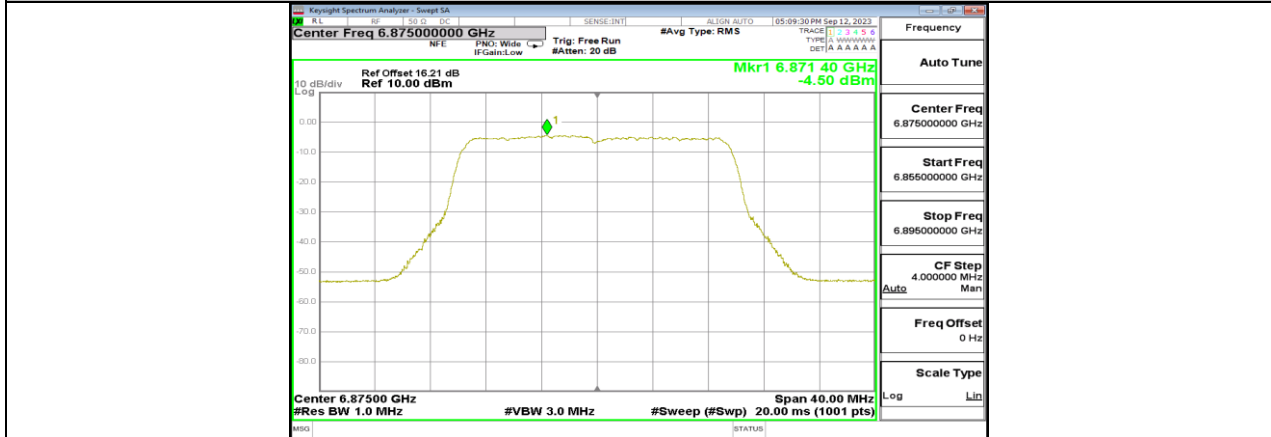
11BE20MIMO_Ant3_6535



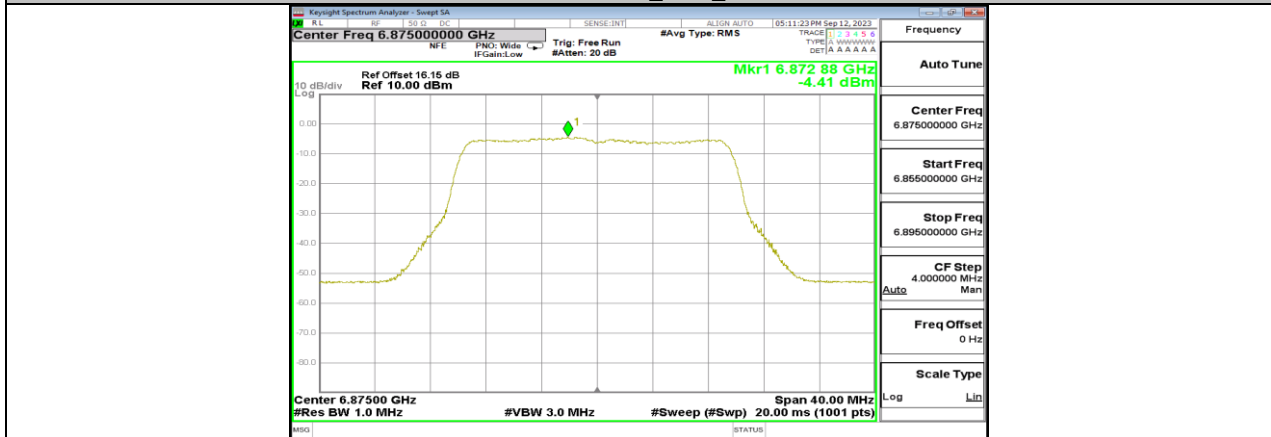




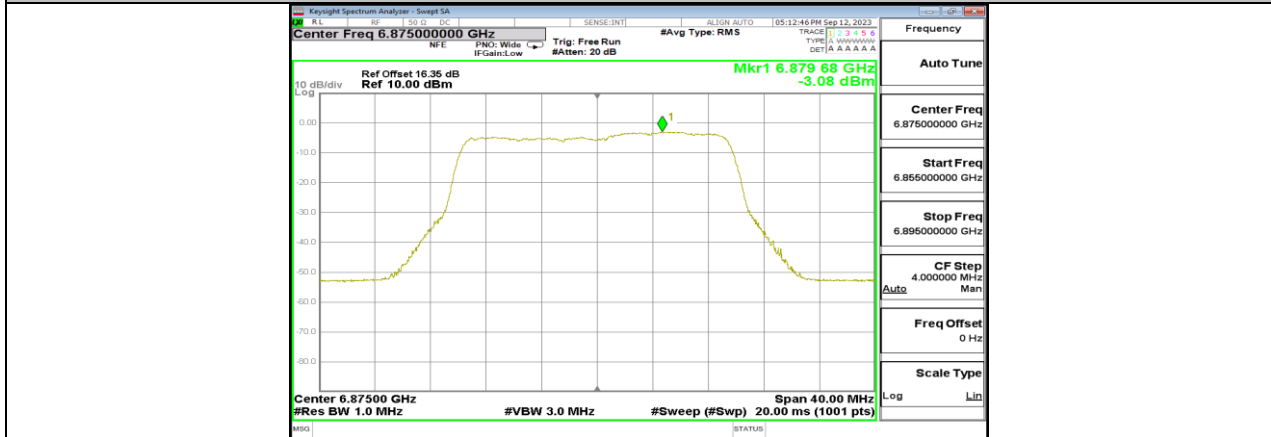
11BE20MIMO_Ant4_6715

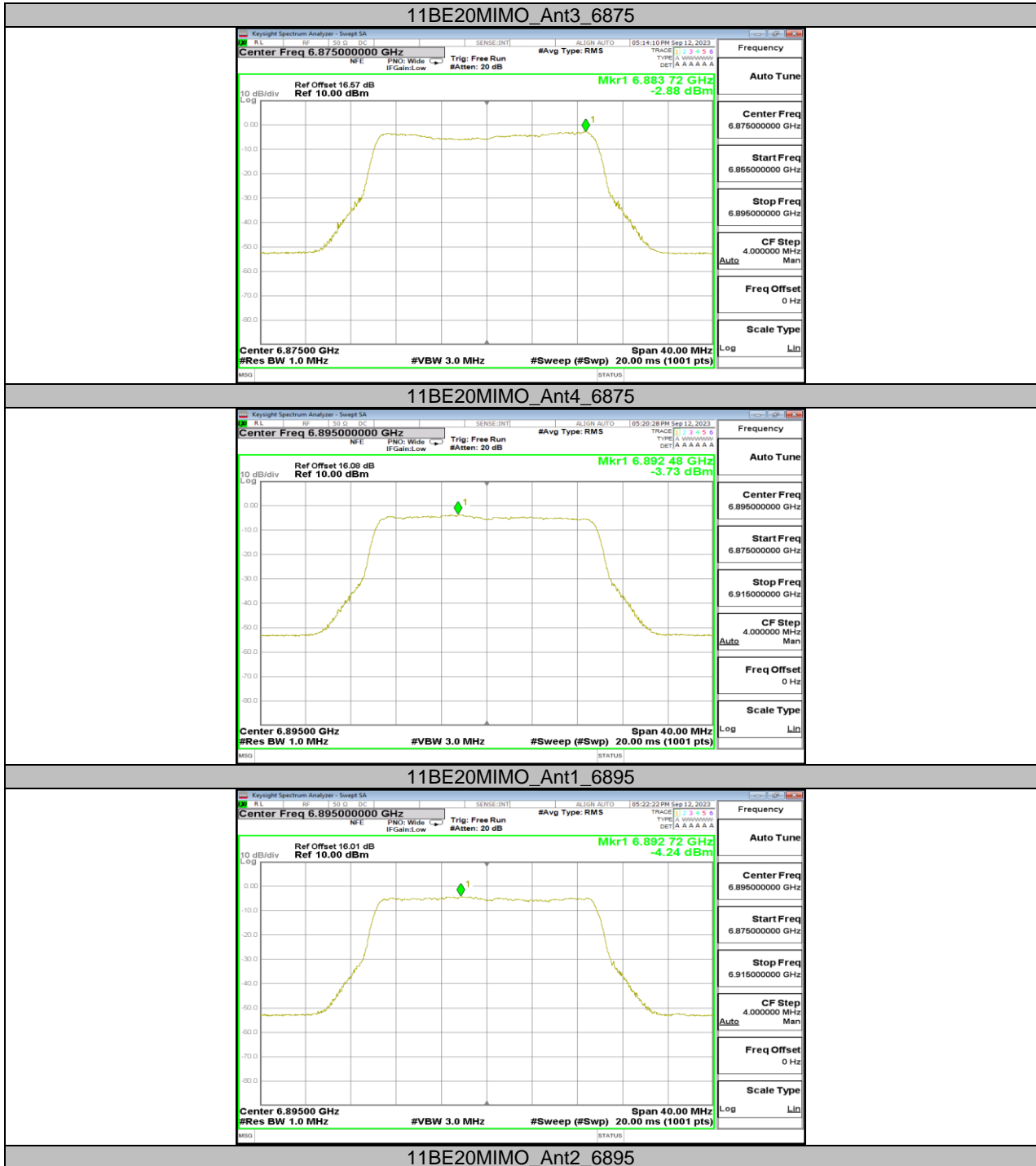


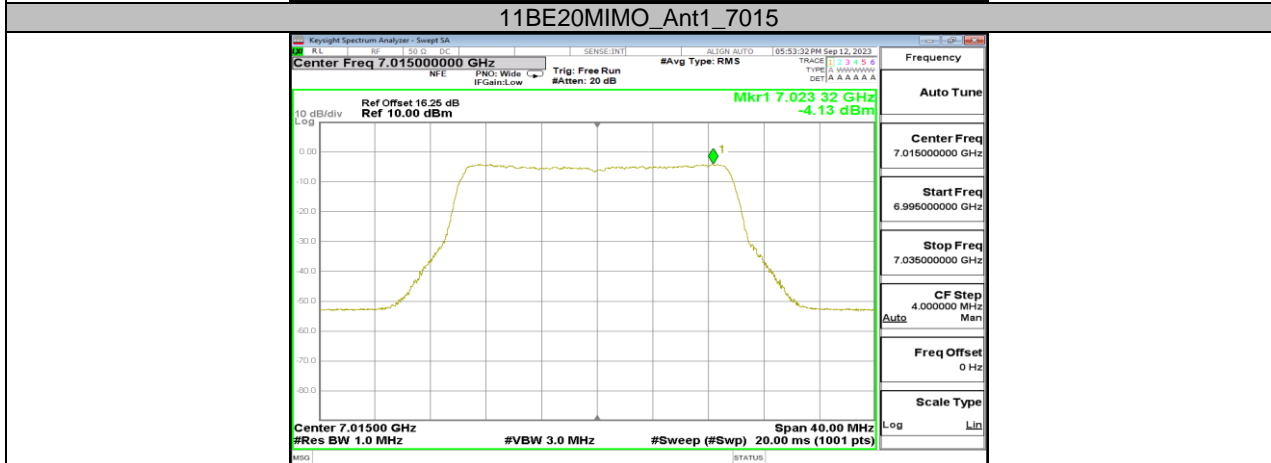
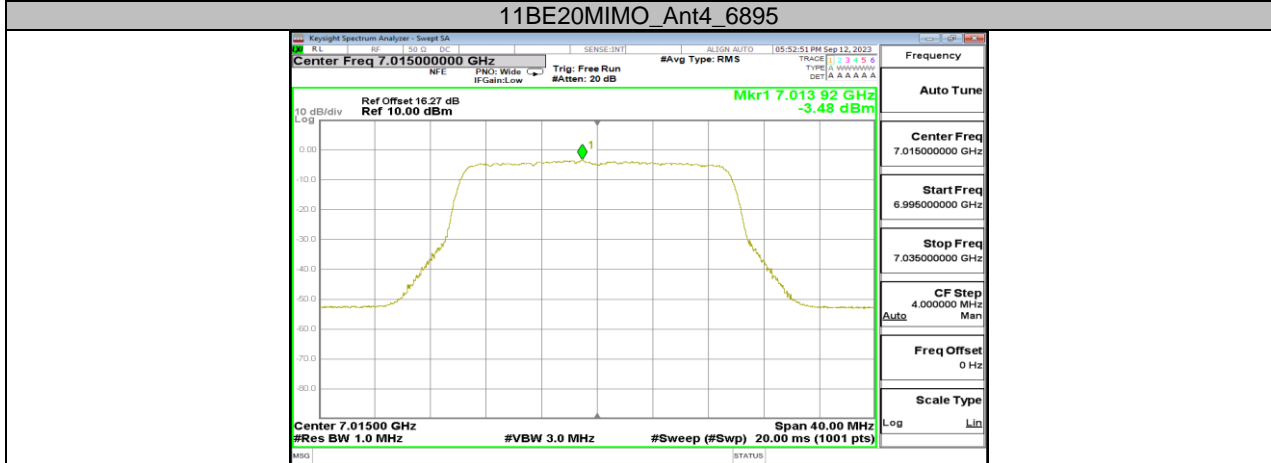
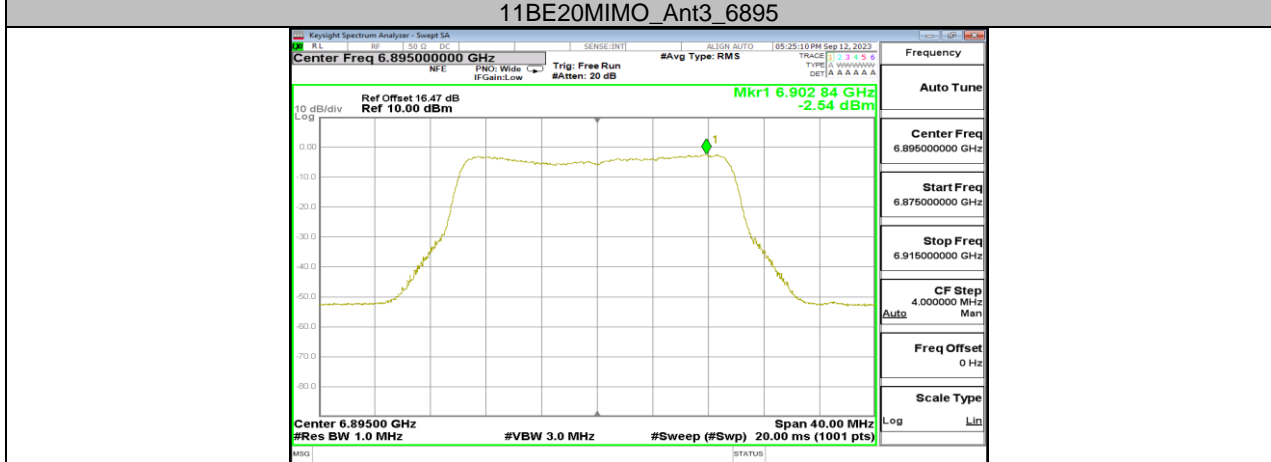
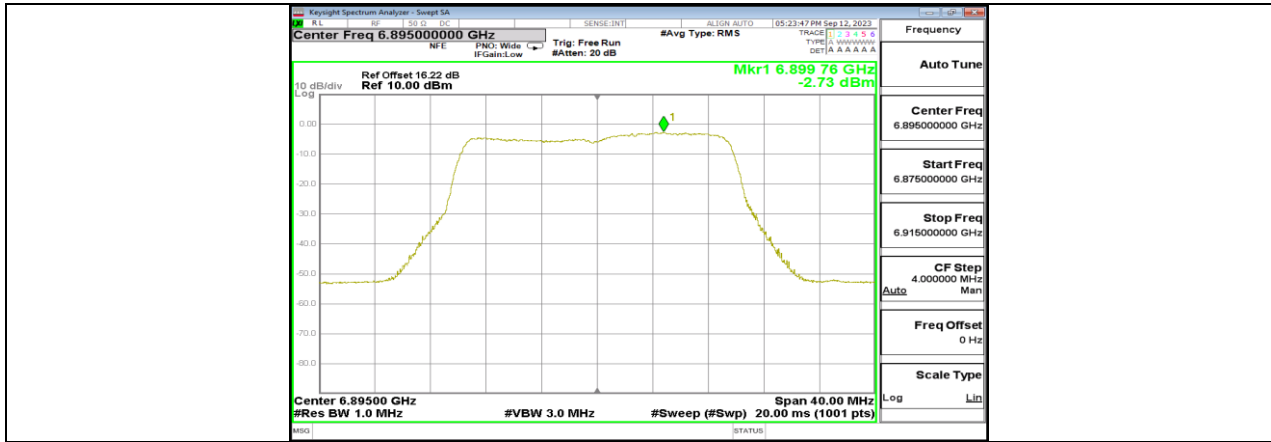
11BE20MIMO_Ant1_6875

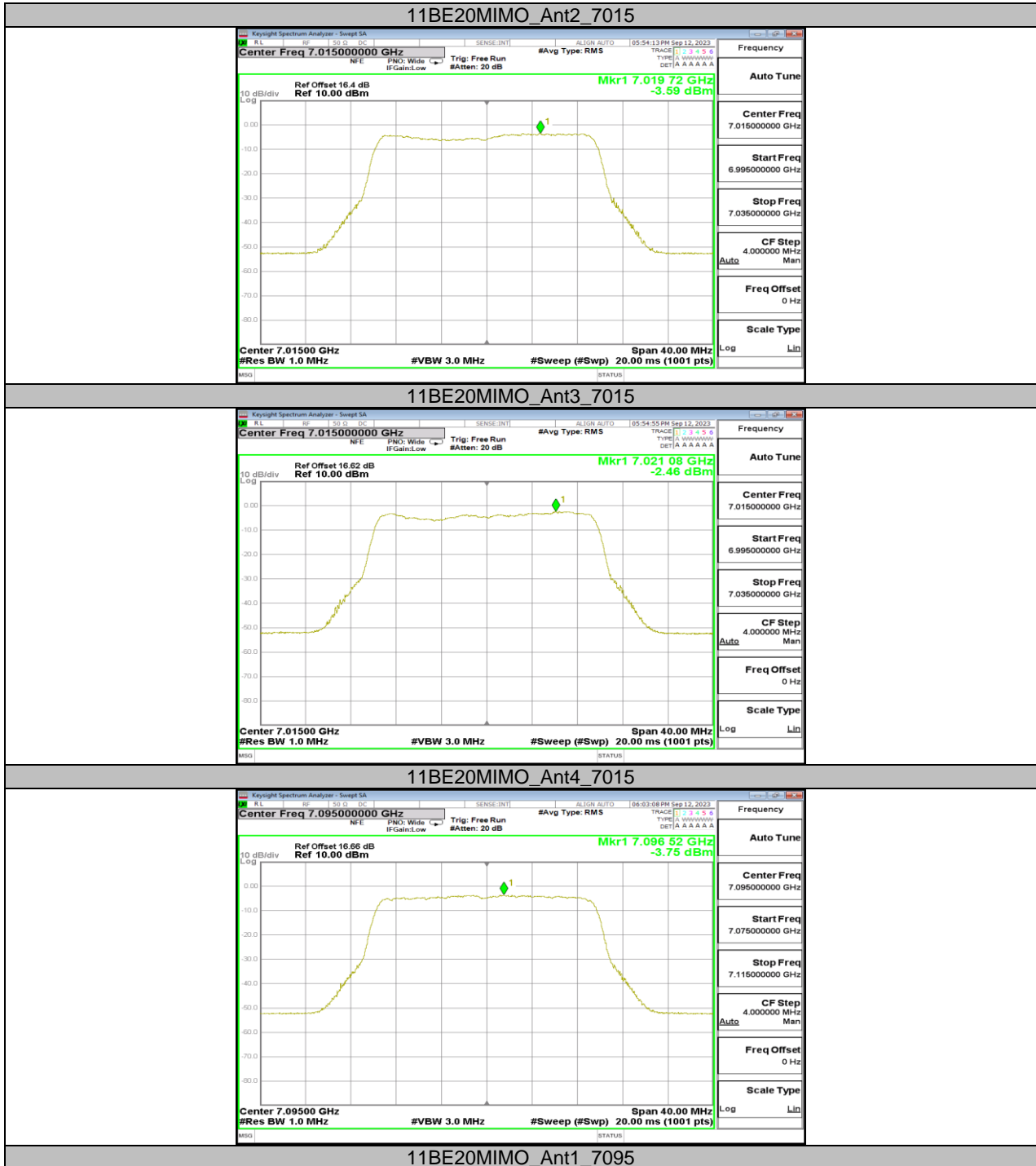


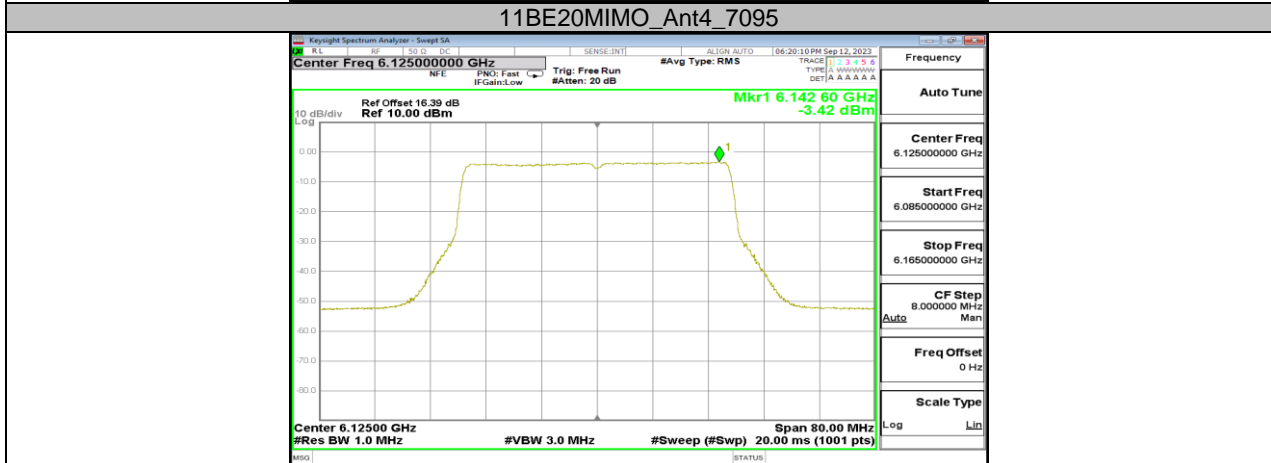
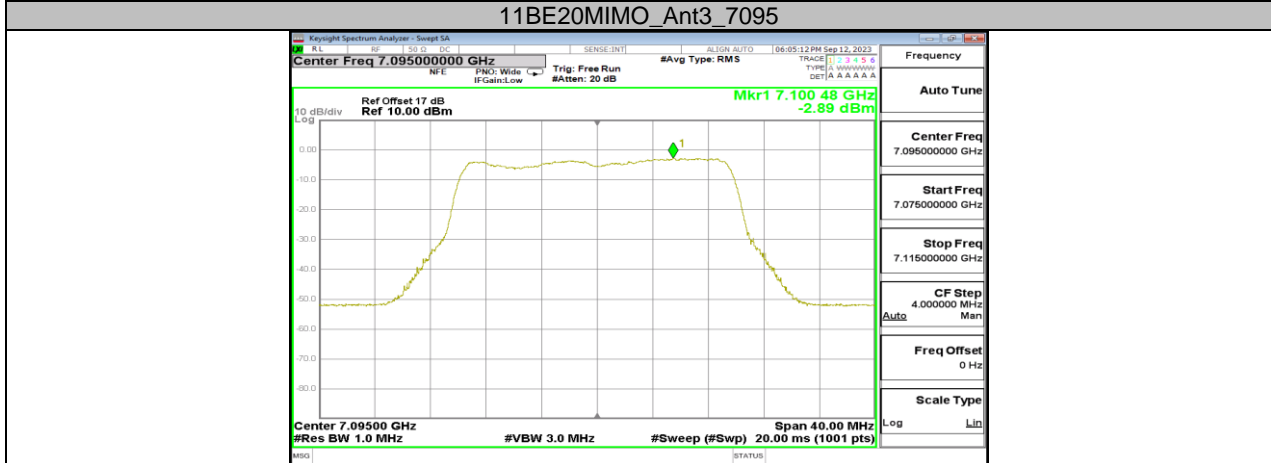
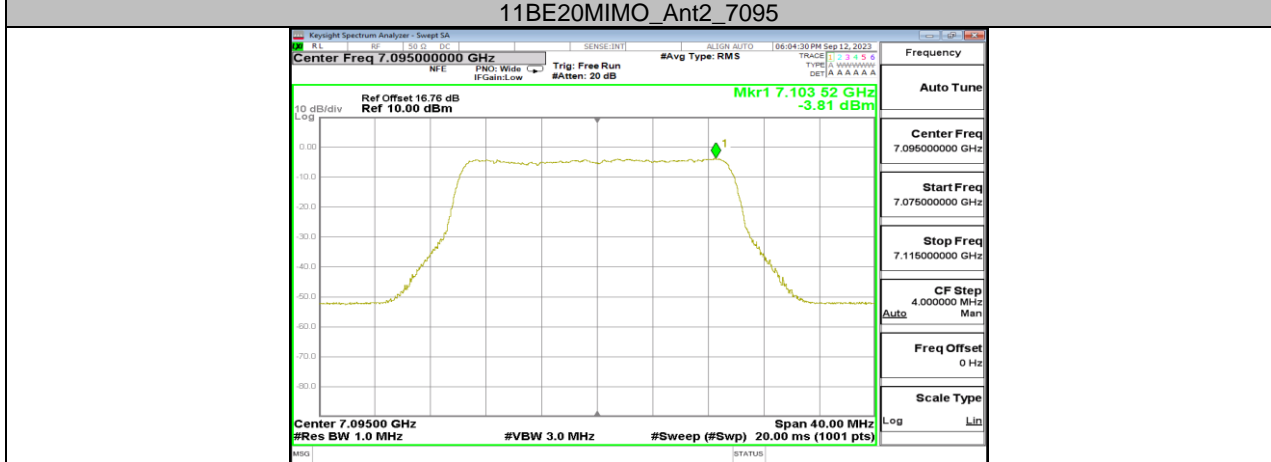
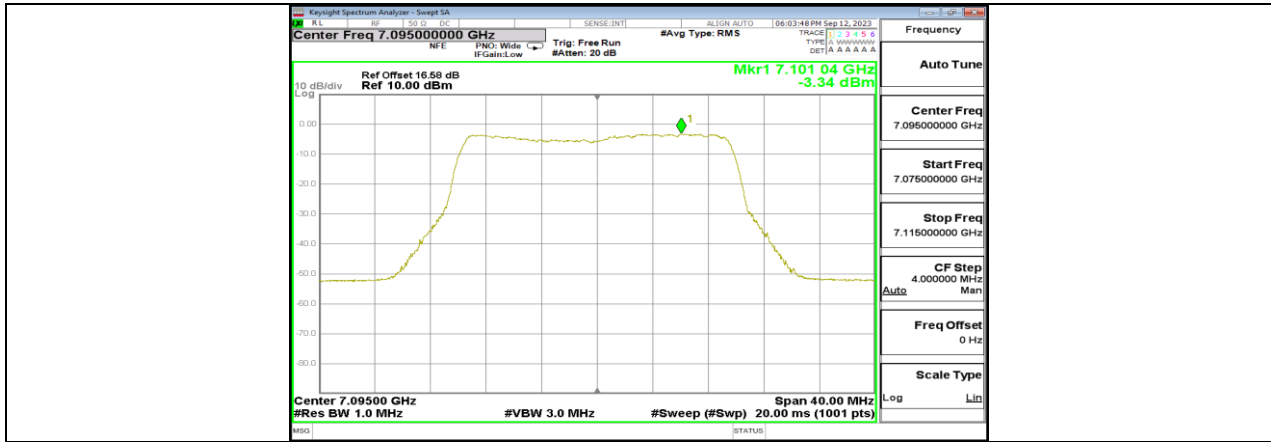
11BE20MIMO_Ant2_6875

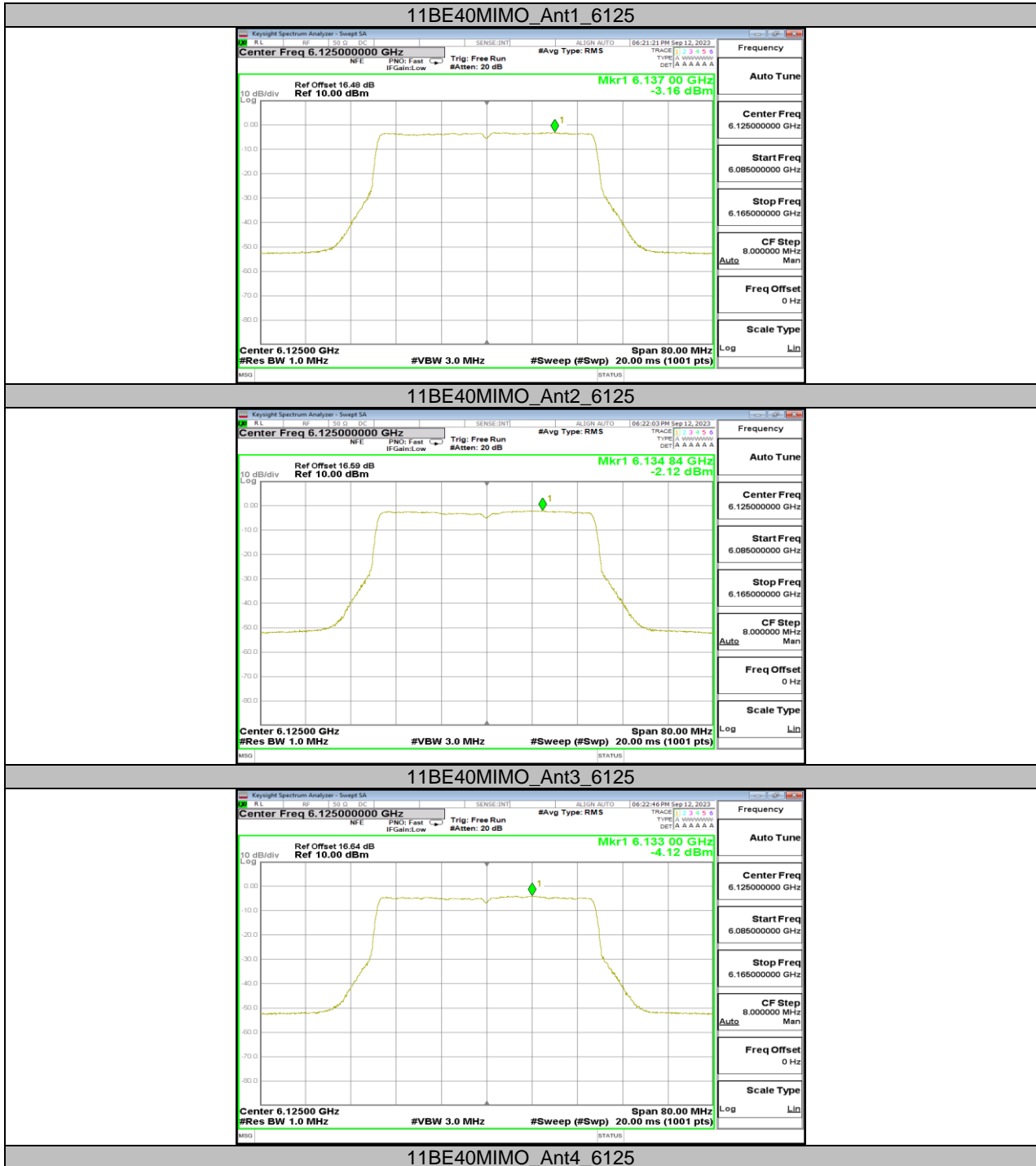


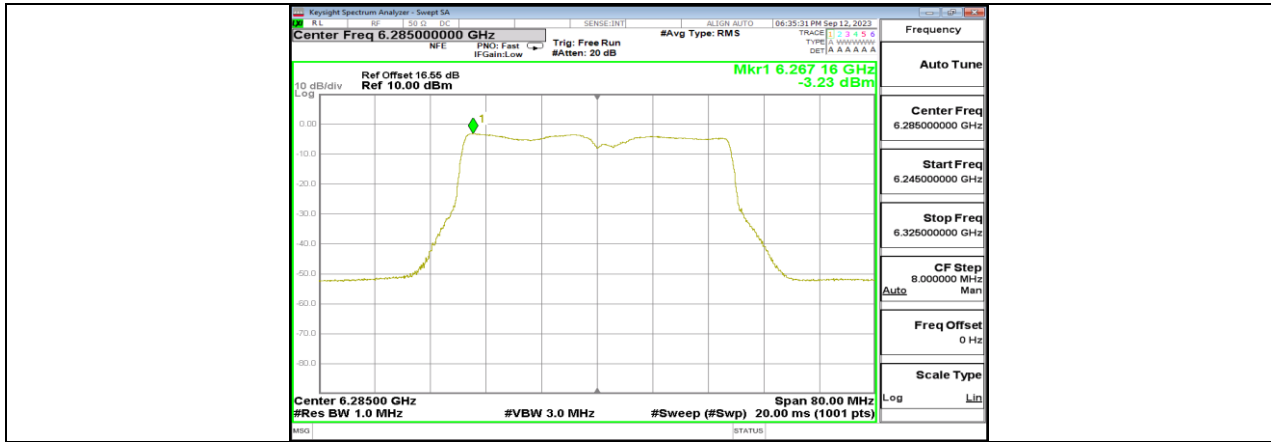




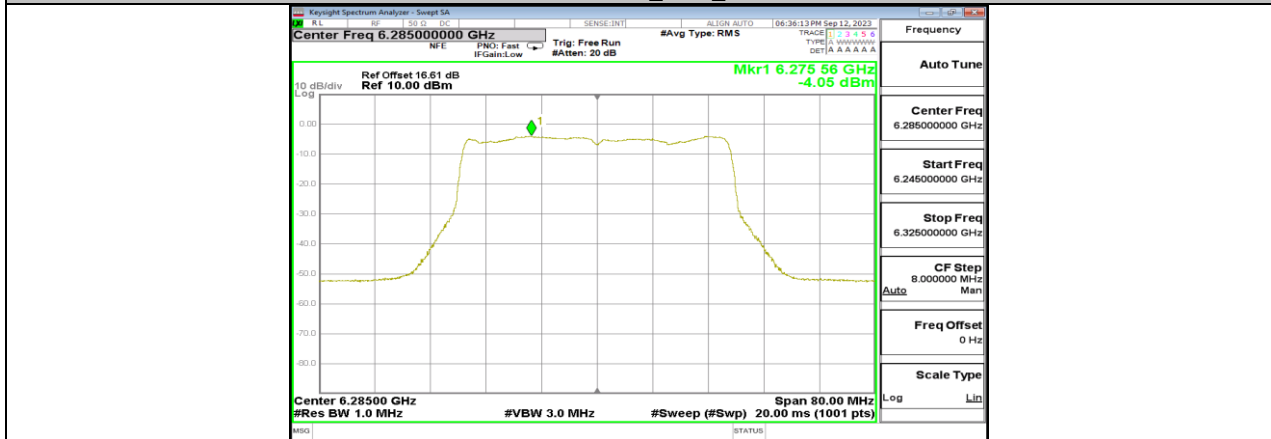




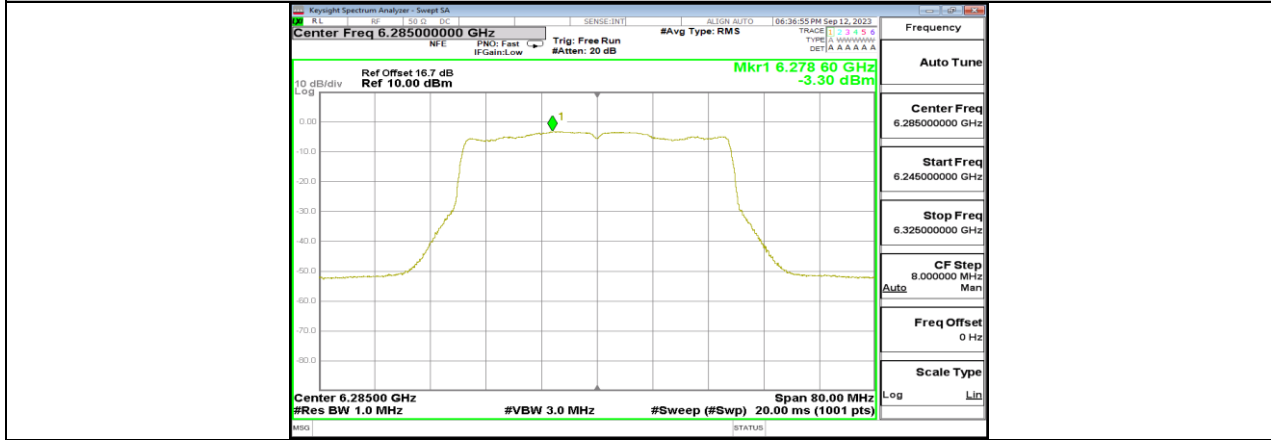




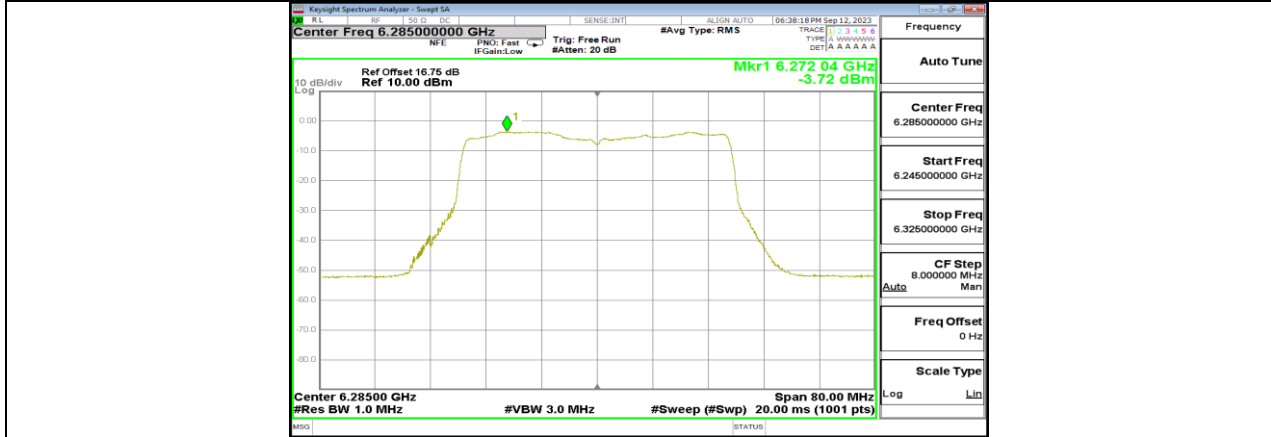
11BE40MIMO_Ant1_6285

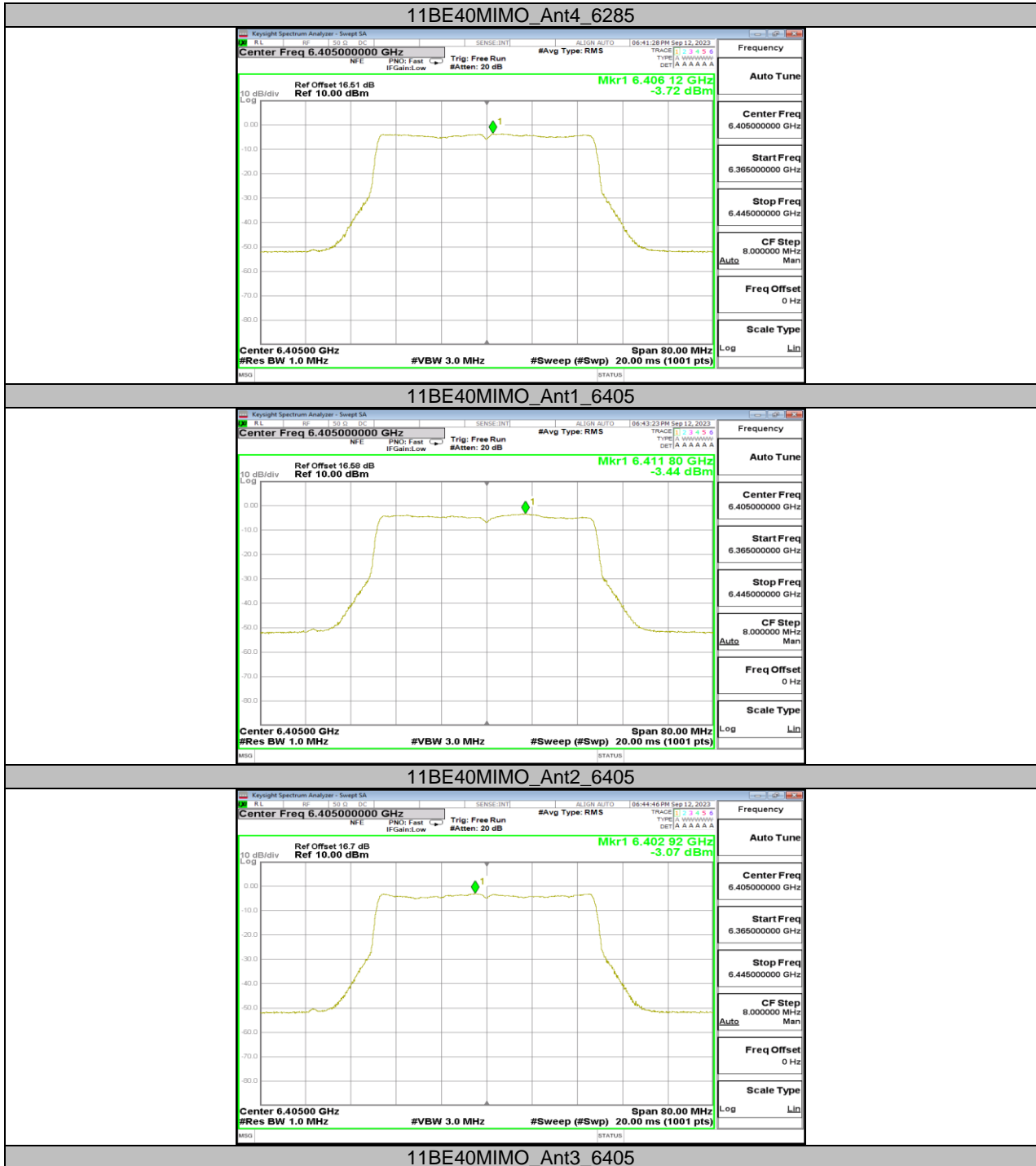


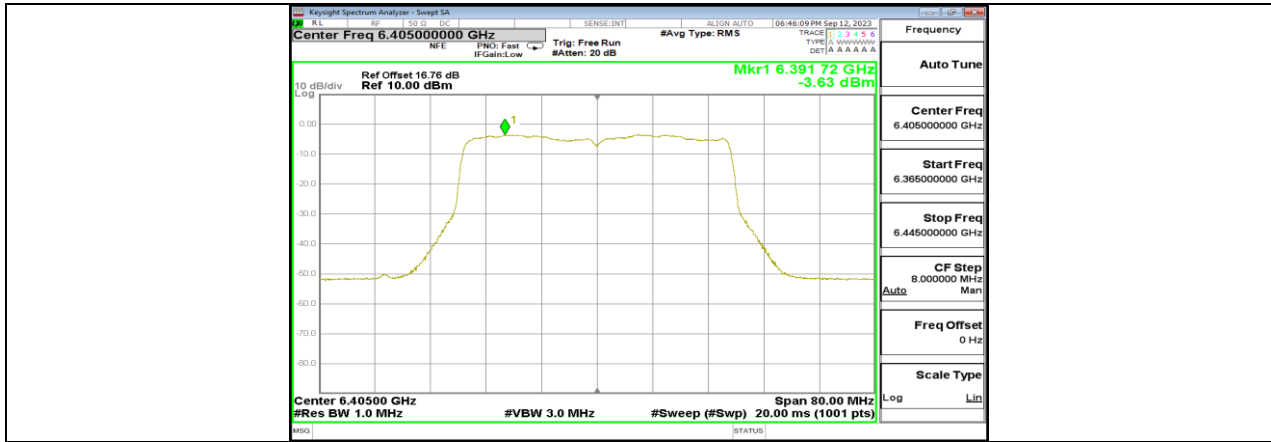
11BE40MIMO_Ant2_6285



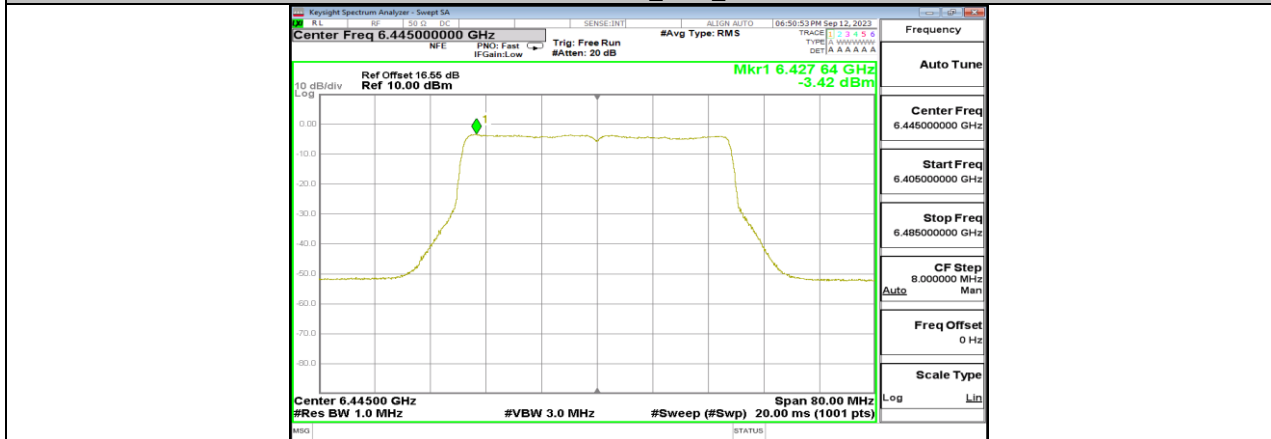
11BE40MIMO_Ant3_6285



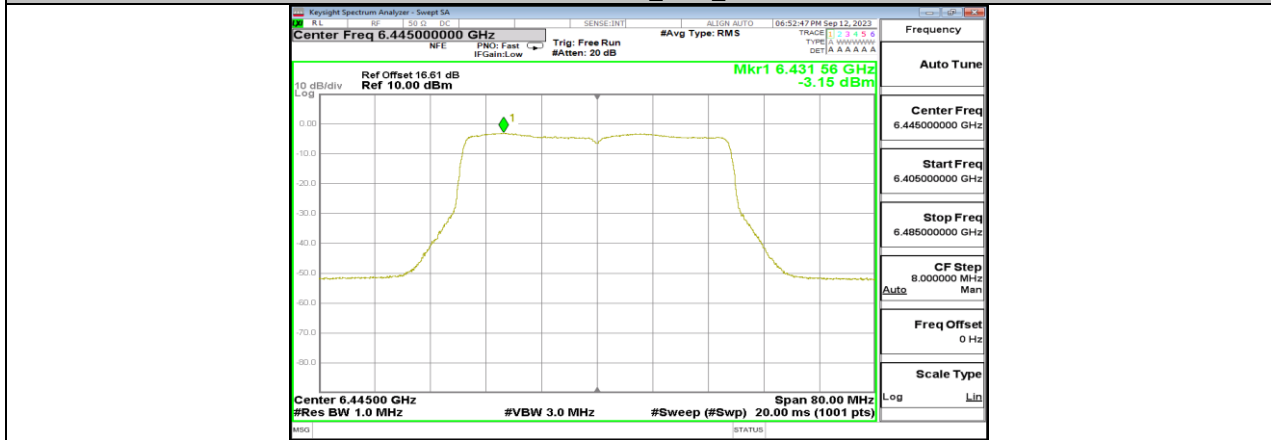




11BE40MIMO_Ant4_6405



11BE40MIMO_Ant1_6445



11BE40MIMO_Ant2_6445

